

طراحی و پیاده‌سازی آزمونگر سامانه هشداردهنده لیزری

عبدالله اسلامی مجده^{*}، احمد ناصری^۲، امیر معصومیان^۳، محمدرضا نصرالهی آزاد^۴

۱- استادیار، ۳و ۴- کارشناس ارشد دانشگاه صنعتی مالک اشتر، ۲- کارشناس ارشد دانشگاه یزد

(دریافت: ۹۴/۱۰/۱۵، پذیرش: ۹۵/۰۲/۱۱)

چکیده

در این مقاله یک سامانه آزمونگر با زیرسامانه‌های الکتروپیکی، الکترونیکی و نرم‌افزاری معرفی می‌گردد. این سامانه توانایی تولید و گشودن رمزهای لیزری به کاررفته در مهمات هدایت‌شونده لیزری را دارد. ارزیابی هشداردهنده‌های لیزری قبل از عملیات، با استفاده از چنین آزمونگری ممکن خواهد بود. گیرنده سامانه آزمونگر، دارای مشخصات فنی و کارکردی یکسان با هشداردهنده‌های عملیاتی می‌باشد. این آزمونگر در تولید و بازتولید رمزهای لیزری، دارای خطای میانگین $6.70427 \text{ micro second}$ است. بدین ترتیب، اعداد به دست آمده تا ۵ رقم اعشار در تعیین دوره تناوب قابل اعتماد است.

کلید واژه‌ها: مهامات هدایت لیزری، فرکانس تکرار پالس، نشان‌گذاری لیزری، هشدار و فریب لیزری.

Design and Implementation of a Tester System for Laser Warning System

A. Eslami Majd*, A. Naseri, A. Masoumian, M. R. Nasrollahi

Malek Ashter University of Technology

(Received: 05/01/2016; Accepted: 30/04/2016)

Abstract

In this paper, a new tester system including electro-optical, electronic and software subsystems is introduced. It can decode pulse laser that is applied in laser guidance weaponry. Evaluating of laser warning systems will be possible using such tester systems. The receiver of this system has the same technical specifications with operational laser warning systems. The tester presents $6.70427 \text{ micro second}$ average error in coding and decoding pulse laser. Thus, driven numbers are trusty to 5 decimal digits for determining period pulse laser

Keywords: Laser Guidance Weaponry, Pulse Repetition Frequency, Laser Designation, Laser Warning and Aberration.

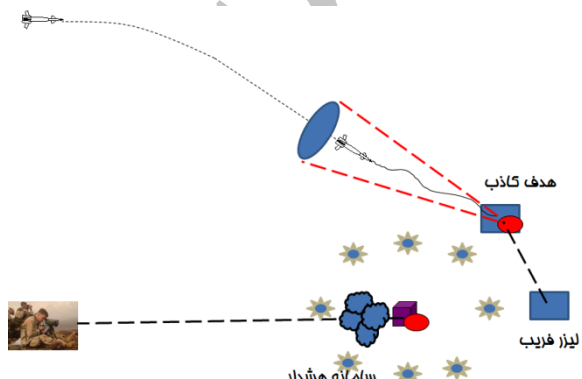
*Corresponding Author E-mail: sinamahdi@mut.ac.ir

Advanced Defence Sci. & Tech. 2016, 6, 107-117.

سامانه های هشدار اغلب به عنوان یک زیر سامانه از سامانه هشدار و فریب عمل می نمایند. هدف آن، شناسایی تهدید لیزری و اقدام در جهت فریب آن است. شیوه کار به این صورت است که با تابانده شدن پرتو لیزری بر روی هدف محافظت شده، قسمت هشدار آن را شناسایی می نماید. مشخصات تهدید لیزری مانند رمز و جهت تابش را استخراج می کند و بر اساس آن اقدام لازم برای فریب را انجام می دهد. فریب تهدید دشمن پس از تشخیص آن از دو طریق قابل دست یابی است:

۱. پنهان کردن سایت مورد حفاظت از دید سنسور های تهدید کننده.
۲. فریتن سامانه تهدید کننده از طریق ایجاد اهداف جعلی یا مجازی.

برای فریب سامانه های هدایت شونده لیزری، باید پرتو لیزری که سلاح به سمت آن حرکت می کند، مدیریت شود. برای این کار بعد از تشخیص وجود تهدید لیزری، در گام نخست باید مانع بازتاب پرتو از هدف شد. برای این منظور می توان از روش های مختلفی مانند پخش دود در اطراف استفاده کرد. در کنار آن، لیزر تابشی را توسط قسمت هشدار رمزگشایی کرده و همان رمز را از محلی دورتر از هدف توسط یک لیزر خودی در محیط پخش کرد. با توجه به این که جستجوگر فقط به تعقیب پرتو های موجود می پردازد، لذا به سمت هدف غیر واقعی حرکت خواهد کرد. هدایت لیزری جهت هدایت دقیق سلاح به کار می رود، انحراف چندین متری و یا چند ده متری نیز مناسب است ولی چون سلاح های فعلی به سامانه های هدایت کمکی نیز مجهز هستند نباید این انحراف بیش از حد لروم باشد. این ساختار در شکل (۲) نشان داده شده است [۱۰-۱۴].



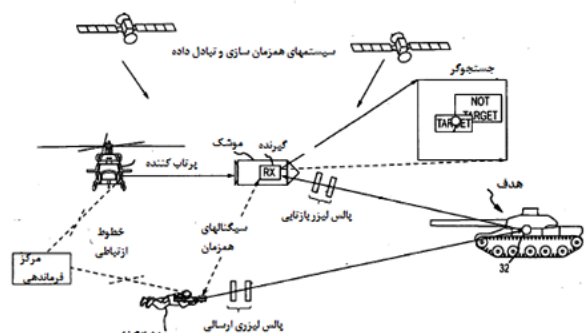
شکل ۲. نحوه عملکرد سامانه هشدار و فریب لیزری در مقابل یک تهدید لیزری در محافظت از یک موقعیت. سامانه هشدار پس از دریافت لیزر تهدید با ایجاد پرده دود از برگشت لیزر به سمت موشک جلوگیری می کند. سپس با تابش لیزر فریب با کد مشابه به سمت هدف کاذب موشک را منحرف می نماید [۱۱].

۱. مقدمه

هدایت لیزری^۱ در هدایت بمب و موشک به کار می رود و از دقت بالایی برخوردار است. در روش هدایت لیزری که از نوع هدایت سرخود نیمه فعال^۲ است از نشان گذارهای لیزری^۳ همراه با سلاح های هدایت شونده لیزری (LGW)^۴ استفاده می شود. شیوه کار به این صورت است که پس از شناسایی هدف، پرتو لیزری از نشان گذار به سمت آن تابانده می شود. در اثر برخورد این لیزر به هدف، پرتوهایی از آن بازتاب می یابد که مهمات را به سمت هدف هدایت می کند. طول موجی که برای این منظور استفاده می شود شامل طول موج ۸۰۰ نانومتر تا ۲/۵ میکرومتر می باشد.

لیزر هایی که برای این منظور گزارش شده اند شامل لیزر Nd:Yag با طول موج ۱۰۶۴ نانومتر، لیزر Er:Yag و لیزر Raman Shifted Nd:Yag با طول موج ۱۵۵۰ تا ۱۵۳۰ نانومتر، لیزر Ruby در ۶۹۴ نانومتر و لیزر CO2 با طول موج ۱۰/۶ میکرومتر می باشد. انتخاب این طول موج ها به دلیل مسائلی مانند واگرایی، نفوذ در شرایط مختلف آب و هوایی و تاثیرات اتمسفر بر روی آن ها می باشد.

سلاح با استفاده از سامانه جستجوگر خود (LST)^۵ به تعقیب پرتو بازتابی پرداخته و به سمت هدف حرکت می کند [۱۶-۲۱]. طرح واره هدایت لیزری در شکل (۱) نشان داده شده است. پرتو های لیزری ارسالی در محدوده مادون قرمز نزدیک است و به صورت پالسی و رمزگذاری شده ارسال می شود. این رمز بندي براساس فرکانس تکرار پالس (PRF)^۶ انجام می شود و سلاح نیز از این رمز مطلع بوده و آن را جستجو می کند [۱۶-۲۱].



شکل ۱. طرح واره هدایت لیزری. گیرنده موشک با قرار گیری در قیف ایجاد شده توط لیزر نشان گذار به سمت هدف هدایت می شود [۱۱].

¹ Laser Guidance

² Semi Active Homing Guidance

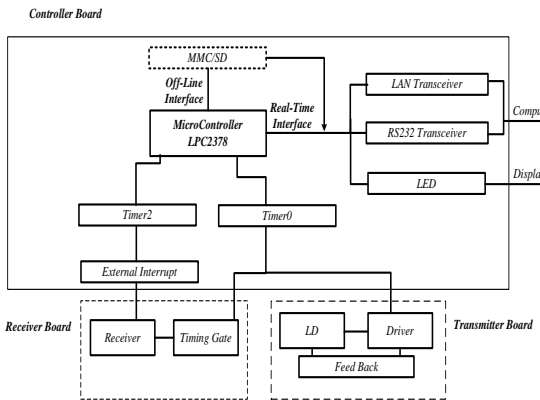
³ Laser Designator

⁴ Laser Guided Weapon

⁵ Laser Spot Tracker

⁶ Pulse Repetition Frequency

بلوک دیاگرام منطقی سخت افزار سامانه (شامل مجموعه فرستنده، گیرنده و راه اندازهای مربوطه) در شکل (۴) آمده است. در ادامه عملکرد هر یک از زیر سامانه ها توضیح داده خواهد شد.



شکل ۴. توصیف کلی سخت افزار سامانه. شامل برد گیرنده، فرستنده و سایر زیر سامانه ها.

۱-۲. فرستنده لیزری

فرستنده، یک لیزر دیود در طول موج 808 nm با مدار فیدبکی است که بر اساس شدت تابش لیزر عمل می کند. سوئیچ به کار رفته برای تولید پالس دارای زمان خیزشی^۱ برابر 2 ns نانو ثانیه است. جریان نقطه کار لیزر دیود در 200 mA تنظیم شده است که توان 200 mJ از داده را ایجاد می کند. فرستنده بر اساس فرمان های رسیده از قسمت کنترلی، رمزهای لیزری را تولید می کند. در این طرح دیود لیزری QL80R4SA ساخت شرکت Quantum Semiconductor مورد استفاده قرار گرفته است. این دیود لیزری برای کنترل توان لیزر مجهز به فتو دیود نمایشی نیز می باشد که در توان 20 mJ از داده را ایجاد می کند.

در مدار راه انداز، با توجه به این که پالس های لیزری در سامانه هدایت لیزری دارای پهنه ای چند ده نانومتری می باشند، لذا به منبع جریان با سوئیچ هایی از مرتبه چند نانو ثانیه ای احتیاج است. همچنین، باید بتوان شرایط محافظت الکترونیکی از دیود لیزری را برقرار کرد. برای این کار از دو آی سی در یک حلقه بسته استفاده شده است. IC-HK به عنوان منبع جریان کنترل شونده با ولتاژ و سوئیچ بسیار سریع و IC-WK به عنوان راه انداز آرام و شبکه کنترلی منبع جریان، استفاده شده است.

۲-۲. رمزگذاری پالس لیزر

بر اساس تحقیقات انجام شده، معمولاً رمز در این سامانه ها بر

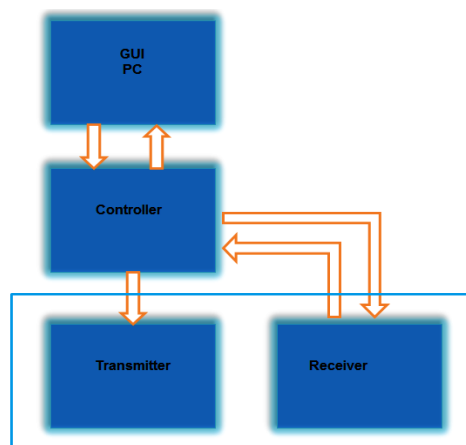
پارامترهای مختلفی برای عملکرد صحیح یک سامانه هشدار و فریب وجود دارد. توانایی در کشف رمز لیزری توسط هشداردهنده و بازسازی آن توسط لیزر فریب از مهمترین آن ها می باشد. تست سامانه های هشدار و فریب توسط آزمایش های میدانی، زمانبند و پرهزینه است. لذا به آزمونگر نیاز است که بتواند به صورت آزمایشگاهی به بررسی توانایی در کشف و باز تولید لیزر تهدید بپردازد. این آزمونگر باید توانایی تولید و ارسال رمزهای لیزری مختلفی را داشته باشد.

نوآوری این مقاله، طراحی و ساخت نمونه آزمایشگاهی یک آزمونگر هشداردهنده های لیزری می باشد. این آزمونگر که با دقت بالایی می تواند کدهای لیزری را شناسایی و باز تولید نماید.

آزمونگر شامل یک فرستنده لیزری، جایگزین نشانگزار لیزری دشمن و یک گیرنده لیزری جایگزین هشداردهنده لیزری خودی است. با این آزمونگر، توانایی سامانه هشدار و فریب در تشخیص رمزهای لیزری و توانایی در باز تولید آن ها مورد آزمایش قرار می گیرد. در این مقاله، ابتدا ساختار کلی سامانه آزمونگر و نحوه عملکرد زیر سامانه های الکترو اپتیکی، کنترلی و نرم افزاری آن توضیح داده شده است. در ادامه ساختار کلی آزمونگر با بیان جزئیات عملکرد فرستنده، گیرنده و قسمت های کنترلی و نرم افزار و آزمایش های صورت گرفته بیان شده است. در ادامه رمز گذاری، رمزگشایی و اندازه گیری میزان دقیق سامانه ساخته شده در باز تولید رمزهای تولیدی تجزیه و تحلیل شده است.

۲. ساختار کلی آزمونگر

این سامانه از سه زیر سامانه اصلی، شامل زیر سامانه الکترو اپتیکی، کنترلی و نرم افزار تشکیل شده است که ارتباط بین آن ها در شکل (۳) نشان داده شده است. قسمت الکترو اپتیکی در محدوده مادون قرمز نزدیک کار می کند.



شکل ۳. ساختار کلی سامانه آزمونگر، شامل فرستنده و گیرنده لیزری به عنوان قسمت الکترو اپتیکی، ساخت افزار کنترلی و نرم افزار دستگاه.

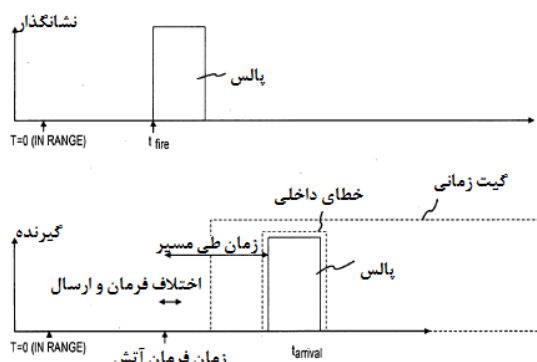
^۱ Rise Time

به طور کلی شناسایی این کدها توسط سه کاراکتر و یا یک واحد انجام می شود. این ساختار می تواند در اشکال مختلفی استفاده شود و کدبندی های متفاوت و غیرقابل کشفی را ارائه نماید [۳]. در مجموع می توان گفت بر اساس روش های متفاوت مدولاسیون پالس، اکثر مدولاسیون برای سامانه هدایت لیزری پالس هایی با دامنه یکسان و موقعیت زمانی رمز شده استفاده می شود. اما این لزوماً به معنای عدم وجود سامانه های رمزگذاری دیگر نیست. به عنوان مثال، رمزگذاری با استفاده از تعداد پالس ها در یک ثانیه می تواند استفاده شود به طوری که برای هر کاراکتر ۱ در یک ثانیه، ۴ عدد پالس ارسال برای کاراکتر ۲ در یک ثانیه ۳ پالس ارسال و یا به صورت ترکیبی از رمزهای مختلف استفاده شود. آنچه مهم است توانایی شناسایی این رمزها و باز تولید آن ها می باشد.

در آزمونگر ساخته شده، اندازه زمانی هر کاراکتر قابل تنظیم بوده و تعداد کاراکترهای هر رمز نیز از یک تا ۲۰ عدد می تواند انتخاب شود. بر اساس آزمایشات انجام شده، فرستنده در ۱۰۰ درصد فرامین رسانیده از قسمت کنترلی به درستی عمل می کند و میزان تاخیر زمانی در فرستنده برابر ۲۰ نانو ثانیه است.

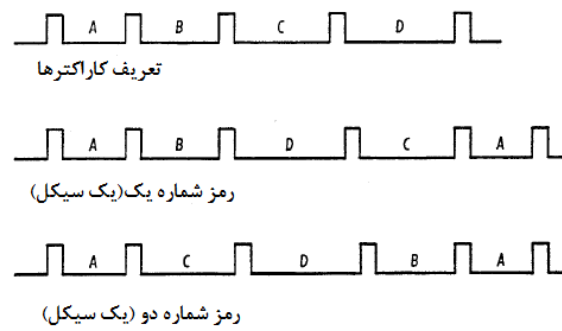
۳-۲. گیرنده لیزری

در گیرنده لیزری از یک فتو دیود همراه با یک LNA^۲ برای آشکار سازی پالس های لیزری استفاده شده است که در ۱۰۰ درصد موارد پالس های دریافتی را آشکار می کند. برای انجام رمزگشایی، برای هر کاراکتر یک دروازه زمانی مطابق با شکل (۶) تعریف شده است. محل این دروازه زمانی با دو پارامتر تاخیر زمانی و پهنای دروازه مشخص می شود. بر اساس اندازه گیری های مختلف برای شرایط مختلف (تعداد پالس، دوره تناوب پالس و گیت زمانی)، در تولید دروازه زمانی، حداقل میزان خطأ برابر ± 2 میکرو ثانیه می باشد و مستقل از مشخصات رمز لیزری است.



شکل ۶. دروازه زمانی متناسب با هر کاراکتر رمز [۱].

اساس فرکانس تکرار پالس می باشد. به طور کلی می توان رمز را به صورت پالس های مدوله شده با فاصله زمانی^۱ در نظر گرفت که دامنه ای ثابت دارند [۳]. در این حالت رمز در فاصله زمانی پالس ها قرار گرفته و یک سری پالس های فاصله دار به صورت تناوبی و پیوسته تشکیل می گردد. این پالس ها با فرکانس تکرار ۱۰۰ هرتز تولید می شوند [۲]. نمونه ای از این رمزها در شکل (۵) نشان داده شده است.



شکل ۵. رمزهای تولیدی برای لیزر بر اساس کاراکترهای رمز [۲].

یک نمونه رمز ایجاد شده در جدول (۱) نمایش داده شده است. همان طور که دیده می شود از دو عدد کاراکتر یک واحد ساخته شده است و به تعداد ۱۶ واحد می توان دست یافت. از ترکیب این واحدها چهار عدد رمز بدست آمده است که می توان هر یک را برای یک مهام درنظر گرفت.

جدول ۱. رمزهای تولیدی از رمزهای پایه [۳]

Code I.D.	Unique Interval Paires
Code 1:	(AB)(BD)(DC)(CA)
Code 2:	(AC)(CD)(DB)(BA)
Code 3:	(BB)(BC)(CC)(CB)
Code 4:	(AA)(AD)(DD)(DA)

به طور کلی اگر تعداد کاراکترهای رمزی با I نشان داده شود و هر واحد رمز شامل n عدد کاراکتر باشد، برای ساختن رمزی شامل L عدد واحد رمز، تعداد رمزهای قابل دسترسی برابر C خواهد بود که از معادله (۱) بدست می آید [۲] :

$$C = \frac{I^n}{L} \quad (1)$$

از آنجایی که واحدهای به کار رفته در هر رمز فقط یکبار و آن هم در جای خاص می باشند، برای شناسایی رمز، تنها شناسایی یک واحد هم کافی است. به طور مثال با دریافت واحد در AA در رمزگشای، می توان از روی جدول فهمید که این رمز شماره (۴) است. این مسئله در آشکار سازی و شناسایی کد مفید است.

^۱ Pulse Invertal Modulation(PIM)

² Low Noise Amplifire

دروازه‌های زمانی به منظور ارسال به گیرنده، مورد استفاده قرار گرفته است. تایمر دو برای اندازه‌گیری زمان‌های مربوط به سیگنال دریافتی از گیرنده الکتروپیکی به کار می‌رود. براساس مقدار کلاک داده شده به این تایمراهای می‌توان گام‌های زمانی قابل اندازه‌گیری را طبق جدول (۲) به دست آورد. این مقدار دقیق دستگاه را در اندازه‌گیری سیگنال‌های ورودی نشان می‌دهد.

جدول ۲. گام زمانی تایمر بر اساس فرکانس کلک تایمر.

گام زمانی تایمر	فرکانس کلارک	نوسان
۱۳/۸۸ nS	۷۲ MHz	
۲۴/۷۷ nS	۳۶ MHz	
۵۵/۵۵ nS	۱۸ MHz	
۱۱۱/۱۱ nS	۹ MHz	

کلاک تایمیر، ۳۶ مگاهرتز تعیین شده است که برای اندازه‌گیری فرکانس‌ها تا سه رقم اعشار بسیار مناسب است.

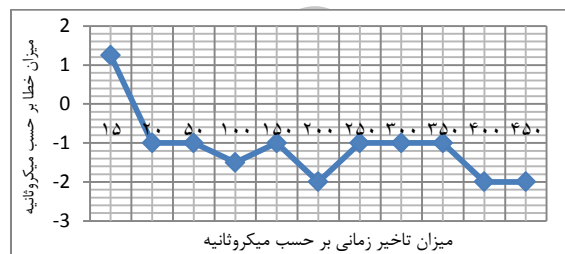
وقفه‌های خارجی EXINT1 و EXINT2 نیز فعال می‌شود تا سیگنال رسیده از گیرنده الکترواپتیکی از طریق فعال کردن وقفه‌های خارجی، تایمیر دو را جهت اندازه‌گیری زمان‌های مورد نظر تنظیم کند. یک واسط UART به منظور برقراری ارتباط مستقیم با رایانه مورد استفاده قرار می‌گیرد. همچنین، از پنج درگاه به عنوان ورودی کلیدهای فشاری برای دسترسی مستقیم کاربر به میکروکنترلر استفاده شده است. سایر بلوک‌ها، شامل ارتباط JTAG با تراشه به منظور برنامه‌ریزی آن، واحد تغذیه ۵V شامل یک رگولاتور سویچینگ کاهنده برای ایجاد ولتاژ تغذیه ۵V ولت LM2576 و یک رگولاتور $\frac{3}{3}$ ولت برای تغذیه میکروکنترلر LF331، مدار ریست تراشه و قسمت‌های برقراری ارتباط بین سخت‌افزار کنترلی و سامانه الکترواپتیکی نیز در مدار کنترل در نظر گرفته شده است.

این طرح، همچنین از واسط اترنت برای ارتباط با ادوات خاص (برای توسعه‌های احتمالی آتی) پشتیبانی می‌کند. ارتباط اصلی با رایانه برای انتقال و نمایش داده‌های ارسالی و دریافتی، از طبقه د. گاه Serial انجام می‌گیرد.

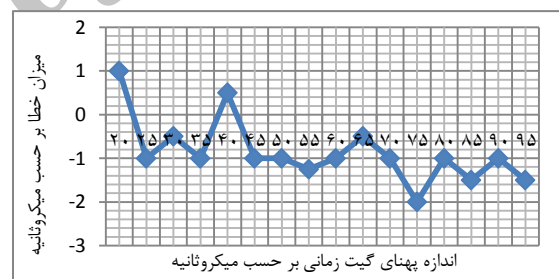
پس از آشنایی با سخت‌افزار تهیه شده برای انجام طرح و نیز آشنایی با ادوات مورد استفاده، به بررسی چکونگی ارسال، دریافت بالسر، ها و ملاحظات کلی، صورت گرفته خواهیم پرداخت.

در این طرح ارسال یک سری پالس لیزرسی رمزگذاری شده با زمان های تناوب دلخواه و امکان دریافت پالس های لیزرسی محیط و استخراج مشخصات زمانی آن ها مطلوب است. برای ایجاد امکان مقایسه این پالس ها باید مشخصات هر دو سری پالس وجود داشته باشد. برای ملموس بودن مسئله از یک محیط گرافیکی،

پالس دریافتی، زمانی رمزگشایی می‌شود که لبه بالارونده پالس درون دروازه زمانی قرار گیرد. بر اساس نتیجه آزمایش‌های انجام شده مطابق شکل (۷)، حداقل تاخیر زمانی ممکن برابر ۱۵ میکروثانیه و مطابق شکل (۸)، حداقل پهنای دروازه زمانی ۲۰ داشتن دروازه زمانی باید اندازه پهنای آن، حداقل ۵ میکروثانیه از تاخیر زمانی آن بیشتر باشد. با تعیین محل دروازه زمانی هر کلاکتر، می‌توان مشخصات زمانی سامانه هشدار و فریب مانند تاخیر زمانی و شرایط لازم برای رمزگشایی را اندازه گرفت.



شکل ۷. تغییر اندازه تاخیر زمانی در محدوده ۱۵ تا ۴۵۰ میکروثانیه برای رمزگشایی قطار پالس شامل ۴ پالس با دوره تناب ۰/۱ ثانیه و دروازه زمانی برای ۵۰۰ میکروثانیه.

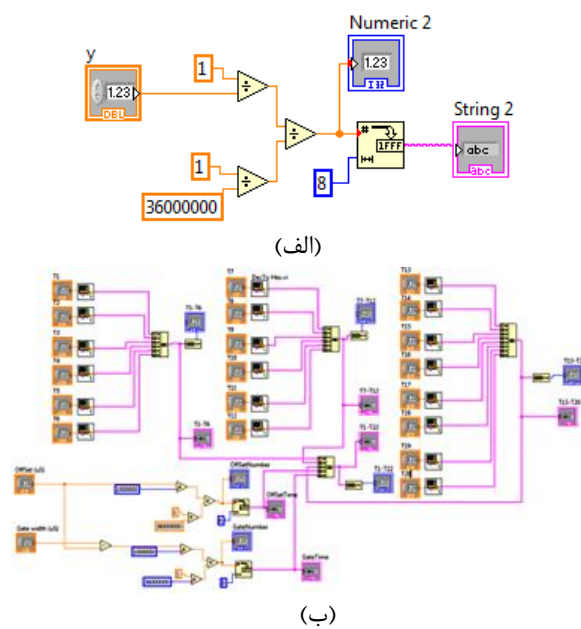


شکل ۸. تغییر اندازه پهنای دروازه زمانی در محدوده ۲۰ تا ۹۵ میکروثانیه برای رمزگشایی قطار پالس شامل ۴ پالس با دوره تناوب ۰/۰ ثانیه و تاخیر زمانی برابر ۱۵ میکروثانیه.

۴-۲. زیر سامانه کنترلی

در این طرح، از میان گزینه‌های متعدد میکروکنترلرهای موجود، به دلیل مزایای آشکار ریزپردازنده‌های ARM، میکروکنترلری از خانواده ARM7 انتخاب شد. در میان میکروکنترلرهای مختلف شرکت‌های سازنده (شامل اتمل، فیلیپس، سامسونگ و ...)، به دلیل امکانات جانبی فوق العاده تراشه‌های NXP (فیلیپس)، میکروکنترلر LPC2378 انتخاب گردید. جزئیات بیشتر مربوط به امکانات تراشه و ثبات‌های آن، در مستندات ارائه شده توسط شرکت NXP قابل مطالعه است.

تایمراهی شماره صفر و دو میکرو فعال به کار گرفته شده‌اند.
تایم صفر برای تولید پالس‌های فرمان جهت ارسال به فرستنده و



شکل ۱۰. تبدیل اطلاعات قطار پالس به آرایه مناسب جهت ارسال به قسمت کنترلی. (الف) تبدیل به تعداد کلک در مبنای هگزا (ب) تولید آرایه.

قسمت کنترلی این آرایه، بسته های ۸ بیتی را به ترتیب دریافت کرده، ابتدا به اعداد ۳۲ بیتی تبدیل و سپس در تنظیمات مربوط به تایمر صفر قرار می دهد. برای انجام این کار به طور که ترتیب داده ها نیز حفظ شود، از روش های ریاضی و منطقی استفاده می شود. به این ترتیب که برای تولید هر عدد ۳۲ بیتی، ابتدا یک متغیر ۳۲ بیتی با مقدار صفر به نام calculation Result ایجاد و در calculation Result با مقدار صفر به نام Result عبارت مطابق تعریف شده است. اولین بسته ۸ بیتی دریافت شده از طریق ضرب در عدد ۲۵۶، به سمت راست شیفت داده و با مقدار قبلی متغیر جمع شده است. با انجام این کار به تعداد ۴ بار، یک عدد ۳۲ بیتی درست ایجاد و در calculation Result قرار خواهد گرفت. این عمل برای تمامی پالس ها تکرار می شود. کد مربوطه مطابق زیر است:

```

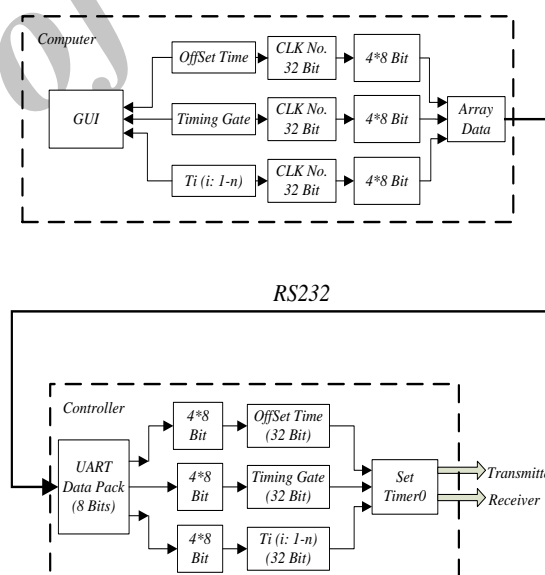
for (ArrayCounter = 0; ArrayCounter < 92;
    ArrayCounter++)
{
    LongArrayTemp [ArrayCounter % 4] =
        TArrayTemp[ArrayCounter];
    if ((ArrayCounter % 4) = 3)
    {
        calculationResult = LongArrayTemp [0] * 256
            + LongArrayTemp [1];
        alculcationResult = calculationResult * 256 +
            LongArrayTemp [2];
        calculationResult = calculationResult * 256 +
            LongArrayTemp [3];
        TArray [(unsigned char)(ArrayCounter / 4)] =
            calculationResult;
    }
}

```

استفاده شده است. این محیط، مشخصات فرکانسی سیگنال های فرمان و سیگنال های دریافتی را نشان می دهد. برای طراحی این محیط گرافیکی و ایجاد ارتباط با کامپیوتر از نرم افزار LabVIEW استفاده شده است. قطار پالس می تواند یک تا ۲۰ عدد پالس با زمان تناوب دلخواه باشد. اطلاعات ارسالی و دریافتی بر روی کامپیوتر قابل مشاهده است.

قابل توجه است که سخت افزار کنترلی ما یک پردازنده ۳۲ بیتی است. بدین معنا که اطلاعات مبادله شده بین کامپیوتر و قسمت کنترلی باید به صورت داده های ۳۲ بیتی و در مبنای هگزادسیمال باشد. ارتباط سامانه و کامپیوتر از طریق درگاه سریال برقرار می شود که بسته های ۸ بیتی را انتقال می دهد.

ابتدا تعداد پالس ها را با زمان های تناوب مورد نظر مشخص می شود. سپس مشخصات دروازه زمانی، شامل پهنا و تاخیر اولیه در محیط نرم افزاری وارد خواهد شد. بلوك دیاگرام تعیین قطار پالس رمزگذاری شده در شکل (۹) نشان داده شده است.



شکل ۹. بلوك دیاگرام تولید فرمان های لازم برای پالس ها.

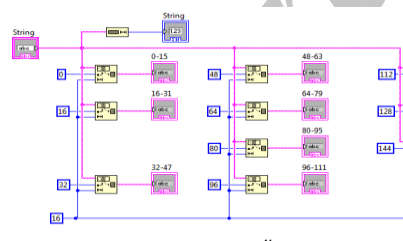
این اعداد ابتدا به تعدادی کلک تبدیل شده و سپس به قالب ۳۲ بیتی در می آید. در این فرآیند کلک تایمر برابر ۳۶ مگاهرتز در نظر گرفته شده است. همزمان در نیز Transe pulse & Gate در شکل قطار پالس هماه با دروازه زمانی نشان داده می شود. امکان بزرگنمایی و حرکت به راست و چپ نیز فراهم شده است. این داده ها به صورت ۸ بیتی و آرایه ای تبدیل شده و از طریق درگاه سریال به قسمت کنترلی ارسال می شود. نحوه تولید آرایه مربوط به قطار پالس در برنامه، در شکل (۱۰) نشان داده شده است.

```

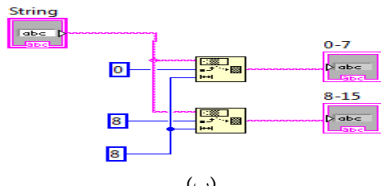
if (firstEvent == 1)
{
    SendingArray [0+TandThCounter] =
        (TandThTemp / 65536)/256;
    SendingArray [1+TandThCounter] =
        (TandThTemp / 65536)%256;
    SendingArray [2+TandThCounter] =
        (TandThTemp % 65536)/256;
    SendingArray [3+TandThCounter] =
        (TandThTemp % 65536)%256;
    TandThCounter += 4;
    if (TandThCounter >= 160)
    {
        PacketSendingFlag = 1;
        TandThCounter = 0;
    }
}

```

این داده‌ها زمانی به کامپیوتر ارسال می‌شود که اطلاعات مربوط به ۲۰ پالس دریافت شود. اگر تعداد پالس‌ها در قطار پالس کمتر از ۲۰ باشد نیز امکان بررسی بیشتر فراهم می‌شود. داده‌های رسیده به کامپیوتر به صورت رشته‌ای و شامل ۳۲۰ کاراکتر ۸ بیتی است. در قدم اول باید به اعداد ۳۲ بیتی تبدیل شوند که مربوط به مشخصات پالس‌های دریافتی شامل پهنای پالس و دوره تناوب هر کدام می‌باشند. سپس توسط نرم‌افزار تحلیل شده، زمان تناوب و پهنای هر کدام استخراج شود. برای این کار از زیر برنامه‌ای مطابق شکل (۱۳) استفاده شده است. نتایج بدست آمد، بصورت عددی و گرافیکی در شکل (۱۱) نمایش داده شده است.



(الف)

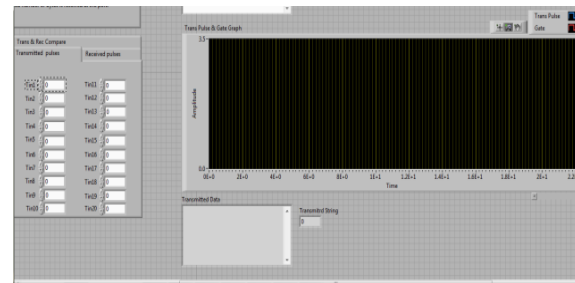


(ب)

شکل ۱۳. زیر برنامه‌های مربوط به تولیه بسته‌های ۸ بیتی از رشته ورودی. (الف) تبدیل رشته ۳۲۰ کاراکتری به داده‌های ۱۶ بیتی. (ب) تبدیل رشته ۱۶ بیتی به ۸ بیتی.

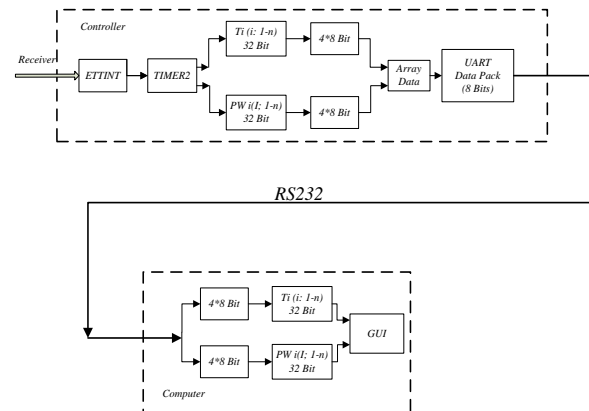
اطلاعات دریافت شده از کامپیوتر در قسمت String وارد شده

قطار پالس تا راه اندازی دوباره سخت افزار کنترلی به صورت تناوبی ارسال می‌شود. چرخه کار برای هر پالس برابر ۱۰ در نظر گرفته شده است. این چرخه در نرم افزار محاسبه و در فرمان‌های سوئیچینگ اعمال می‌شود. تصویر برنامه گرافیکی برای پالس‌های ارسالی در شکل (۱۱) آورده شده است.



شکل ۱۱. تصویر قسمت گرافیکی برای تعیین فرکانس‌های ارسالی.

مدار گیرنده، پالس‌های دریافتی را به قسمت کنترلی می‌فرستد. لبه بالارونده و پایین‌رونده دو وقفه خارجی سامانه میکروکنترلر را فعال می‌کند. لبه بالارونده یکی از وقفه‌ها را و لبه پایین‌رونده وقفه دیگر را فعال می‌کند. این وقفه‌ها، تایم‌ر ۲ را فعال می‌کنند. وقفه مربوط به لبه بالارونده برای محاسبه دوره تناوب پالس و وقفه مربوط به لبه پایین‌رونده برای محاسبه پهنای پالس به کار می‌رود. بلوك دیاگرام عملکردی در شکل (۱۲) نشان داده شده است.

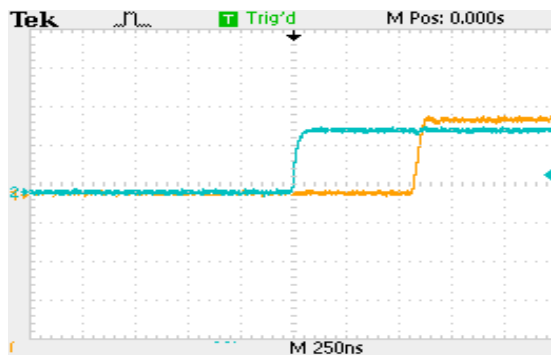


شکل ۱۲. بلوك دیاگرام عملکرد دریافت پالس‌ها.

تایم‌ر برای هر کدام یک عدد ۳۲ بیتی که بیانگر تعداد کلک هر قسمت پالس است، به دست می‌دهد. اکنون این اعداد باید به صورت ۸ بیتی در آیند تا قابل ارسال باشند. توجه شود که ترتیب اعداد ارسالی مهم است. زیرا قسمتی از یک عدد ۳۲ بیتی می‌باشند. برای این منظور در داخل میکروکنترلر، از روش‌های تقسیم که خارج قسمت و باقی‌مانده به دست می‌دهد، استفاده شده است. کد مربوط به این عمل به این صورت است:

است. در سامانه آزمونگر، مواردی از جمله، تاخیر بین فرمان آتش و تولید پالس لیزر در فرستنده، تاخیر بین ارسال لیزر و خروجی گیرنده قبل از دروازه زمانی، تاخیر زمانی ناشی از عامل دروازه زمانی بر روی خروجی گیرنده، تاخیر زمانی بین ارسال لیزر و خروجی گیرنده بعد از عامل دروازه زمانی موجب ایجاد تاخیر می‌شوند.

مطابق شکل (۱۵)، تاخیر کل آزمونگر که معادل تاخیر بین ارسال لیزر و خروجی گیرنده بعد از عامل دروازه زمانی می‌باشد، برابر 575 нанوثانیه است. که شامل 20 нанوثانیه تاخیر زمانی آتش و تولید پالس لیزری در فرستنده، 10 нанوثانیه تاخیر زمانی ناشی از عامل دروازه زمانی بر روی خروجی گیرنده و 545 нанوثانیه تاخیر بین ارسال لیزر و خروجی گیرنده قبل از دروازه زمانی می‌باشد.



شکل ۱۵. تاخیر زمانی کل سامانه برابر 575 нанوثانیه . سیگنال آبی پرنگ: سیگنال فرمان به فرستنده و سیگنال نارنجی-کمرنگ: سیگنال خروجی گیرنده بعد از دروازه زمانی (این میزان مستقل از اندازه کارکترها است).

در تعريف دروازه زمانی برای سامانه، سه پارامتر باید مشخص گردد که عبارتند از: دوره تناب، تاخیر زمانی پالس ارسالی نسبت به دروازه مربوطه و پهنهای دروازه. دوره تناب هر دروازه برابر با دوره تناب پالس ارسالی مربوطه است که توسط نرم‌افزار سامانه از روی قطار پالس استخراج می‌شود. لذا دو مورد تاخیر زمانی و پهنهای دروازه نیاز به بررسی مجزا دارد.

۳-۳. دقیقت در تاخیر زمانی

در این مورد دو مسئله مهم است: اول این که حداقل زمانی که می‌توان برای تاخیر زمانی تعريف شده توسط سامانه و میزان این که میزان خطا در مقدار تعريف شده توسط سامانه و میزان واقعی چقدر است. برای روشن شدن این مطلب آزمایش‌هایی انجام شده است که نتایج را در زیر بیان شده و مورد بحث قرار گرفته است. محدوده فرکانسی سامانه از 10 هرتز تا 50 هرتز در نظر گرفته شده است.

و فرکانس سیگنال‌های دریافتی در قسمت T1 تا T20 نشان داده می‌شود. شکل پالس‌ها در منحنی Received pulse and Gate نشان داده می‌شود. امکان بزرگنمایی و حرکت به راست و چپ نیز فراهم شده است.

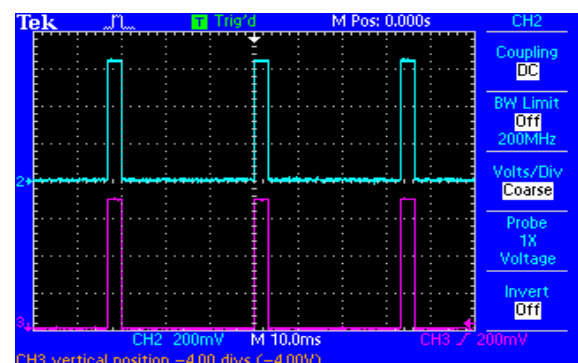
از مقایسه شکل‌ها و اعداد مربوط به فرمان‌های ارسال و سیگنال‌های دریافتی می‌توان عملکرد سامانه را بررسی نمود.

اطلاعات تبادل شده بین قسمت کنترلی و کامپیوتر به صورت ۳۲ بیتی است در حالی که ارسال و دریافت به صورت بسته‌های ۸ بیتی انجام می‌شود. این خود چالشی برای سامانه بود که به صورت نرم‌افزاری و با شیوه‌های جبری و منطقی، مدیریت شد.

۳. چیدمان آزمایش

۳-۱. بررسی کمی آزمونگر

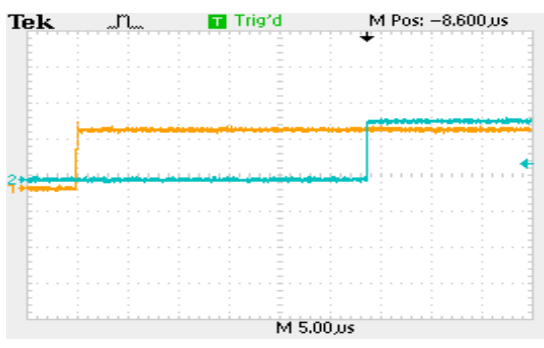
در گام نخست، عملکرد کمی زیرسامانه‌ها به صورت مجزا از نظر پاسخ به تعداد فرمان مورد ارزیابی قرار گرفت. بر اساس انجام آزمایش، توسط 1500 پالس لیزری ، تمامی قسمت‌ها از جمله فرستنده، گیرنده، ارتباط قسمت کنترلی با فرستنده و ارتباط قسمت کنترلی با گیرنده از لحاظ کمی کارکرد 100 درصدی داشتند. بررسی کمی ارتباط زیرسامانه کنترل با فرستنده و گیرنده نیز با کارکرد 100 درصدی تست شد. نمونه‌ای از تست حلقة بسته فرستنده و گیرنده در شکل (۱۶) آمده است.



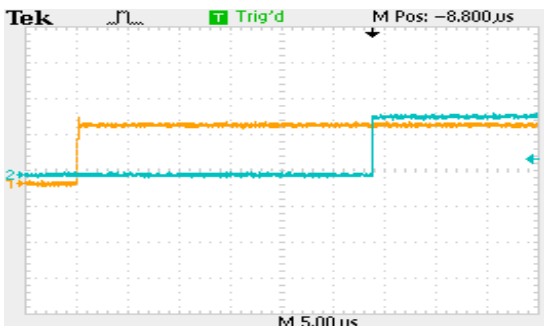
شکل ۱۶. سیگنال اعمالی به فرستنده (ینفش-پایین) و سیگنال دریافتی از خروجی گیرنده (سیز بالا). که به خوبی تطابق 100 درصدی سیگنال‌های ارسالی و دریافتی را نشان می‌دهد.

۳-۲. بررسی زمانی آزمونگر

هر سامانه الکتروواپتیکی به دلیل ساختار و ادوات به کاررفته، یک تاخیر زمانی ایجاد می‌کند که هرگز از بین نمی‌رود، ولی ممکن است به زمان‌های بسیار کم کاهش یابد. در این قسمت به بررسی زمان تاخیر ناشی از قسمت‌های مختلف سامانه پرداخته شده است. کلیه اندازه‌گیری‌ها در دمای آزمایشگاه انجام شده

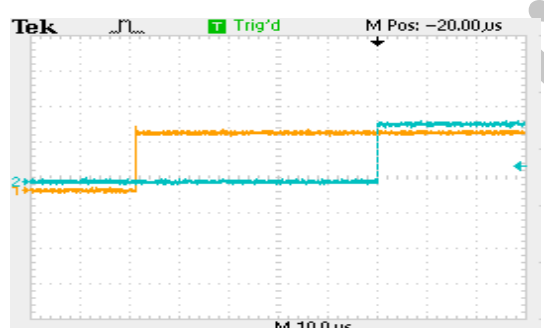


(الف)

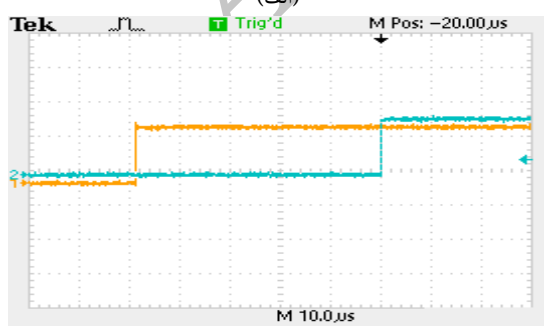


(ب)

شکل ۱۷. میزان تاخیر واقعی برای تاخیر $30\text{ }\mu\text{s}$ میکروثانیه (الف) دوره تناوب در قطار برابر $0.1\text{ }\mu\text{s}$ ثانیه و (ب) دوره تناوب در قطار پالس برابر $0.02\text{ }\mu\text{s}$ ثانیه.



(الف)



(ب)

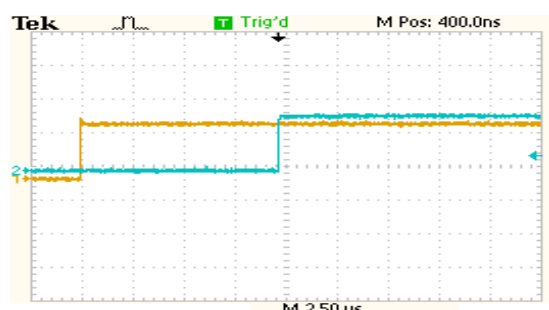
شکل ۱۸. میزان تاخیر واقعی برای تاخیر $50\text{ }\mu\text{s}$ میکروثانیه (الف) دوره تناوب در قطار برابر $0.1\text{ }\mu\text{s}$ ثانیه و (ب) دوره تناوب در قطار پالس برابر $0.02\text{ }\mu\text{s}$ ثانیه.

۴-۴. حداقل تاخیر زمانی سامانه

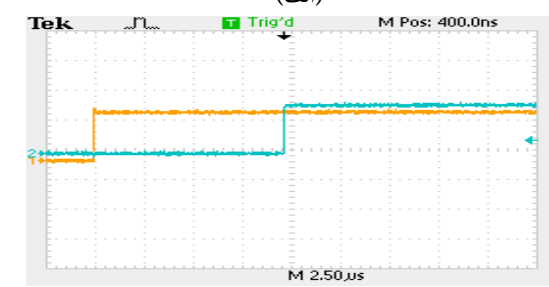
برای این منظور، دو سری آزمایش انجام شده است. در آزمایش اول قطار پالسی شامل ۶ عدد پالس با دوره تناوب یکسان $0.2\text{ }\mu\text{s}$ ثانیه و دروازه زمانی برابر $100\text{ }\mu\text{s}$ میکروثانیه درنظر گرفته و میزان تاخیر از $1\text{ }\mu\text{s}$ میکروثانیه آغاز و با گام‌های یک میکروثانیه‌ای افزایش داده شده است. بار دیگر همین آزمایش با قطار پالس شامل ۶ عدد پالس با دوره تناوب $0.1\text{ }\mu\text{s}$ ثانیه و دروازه زمانی برابر $100\text{ }\mu\text{s}$ میکرو ثانیه تکرار شده است. نتایج به دست آمده از هر دو آزمایش نشان می‌دهد حداقل میزان تاخیر زمانی قابل اعتماد در سامانه، مستقل از دوره تناوب بوده و برابر $11\text{ }\mu\text{s}$ میکروثانیه است.

۴-۵. بررسی و تعیین خطای اندازه تاخیر زمانی

برای این منظور دو سری آزمایش انجام شده است. در گام نخست قطار پالسی شامل ۶ عدد پالس با دوره تناوب $0.2\text{ }\mu\text{s}$ ثانیه و دروازه ثابتی برابر $100\text{ }\mu\text{s}$ میکروثانیه برای سامانه تعريف شده است. تاخیرهایی برابر $11\text{ }\mu\text{s}$ میکروثانیه، $30\text{ }\mu\text{s}$ میکروثانیه و $50\text{ }\mu\text{s}$ میکروثانیه مورد اندازه‌گیری قرار گرفته است. بار دیگر همین آزمایش برای قطار پالس با دوره تناوب $0.1\text{ }\mu\text{s}$ انجام گرفته است. نتایج در شکل‌های (۱۶-۱۸) آورده شده است. بر اساس این اندازه‌گیری‌ها میزان خطای مستقل از دوره تناوب پالس‌ها می‌باشد اما بر اساس میزان تاخیر، دارای اندکی خطای است. برای به دست آوردن محدوده تغییر بر اساس میزان تاخیر دو آزمایش دیگر انجام شده است.



(الف)



(ب)

شکل ۱۶. میزان تاخیر واقعی برای تاخیر $11\text{ }\mu\text{s}$ میکروثانیه (الف) دوره تناوب در قطار برابر $0.1\text{ }\mu\text{s}$ ثانیه و (ب) دوره تناوب در قطار پالس برابر $0.02\text{ }\mu\text{s}$ ثانیه.

شد. اگر لبه بالارونده پالس درون دروازه قرار گیرد، دوره تنابو پالس استخراج شده و رمز مربوطه تعیین می‌گردد. نتیجه به صورت گرافیکی و عددی نشان داده می‌شود. انواع کدهای پالس لیزری را با این سامانه می‌توان ارسال و دریافت نمود. هر کد را می‌توان به صورت قطار پالسی درنظر گرفت که دوره تنابو هر پالس به صورت کدبندی شده می‌باشد. در این سامانه قطار پالس می‌تواند شامل ۱ تا ۲۰ پالس با دوره تنابو دلخواه باشد. تعیین پهنهای دروازه زمانی و میزان تاخیر زمانی نیز در این سامانه وجود دارد. عبارتی برای هر کد باید چهار نوع پارامتر را تنظیم کرد: تعداد پالس، دوره تنابو هر پالس، پهنهای دروازه زمانی و میزان تاخیر پالس‌ها نسبت به دروازه زمانی.

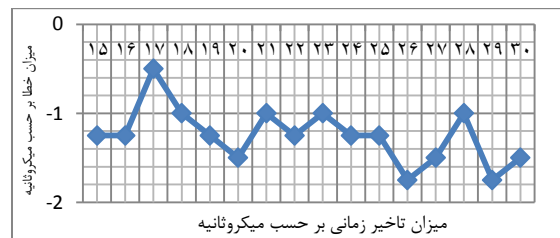
اگر دروازه زمانی به گونه‌ای باشد که پالس در خارج از آن قرار گیرد، در گیرنده چیزی دریافت نخواهد شد. اگر پالس درون دروازه قرار گیرد، پهنا توسط دروازه مشخص خواهد شد. شایان ذکر است که لبه پالس‌ها مهم می‌باشند و می‌توان با استفاده از لبه پالس‌ها دوره تنابو پالس را استخراج کرده و به کدینگ مربوطه پی‌برد. لذا مهم قرارگرفتن لبه بالارونده پالس درون دروازه است که می‌توان با استفاده از صفحه نمایش نرمافزار سامانه این مسئله را کنترل کرد. در ادامه به بررسی توانایی سامانه در تولید و دریافت کدهای مختلف لیزری پرداخته شده است. برای این منظور کدهای مختلف به سامانه داده شده و کارکرد سامانه با آن‌ها امتحان شده است. سامانه با ۱۵ نوع کد مختلف و هر کد به تعداد سه بار، مورد آزمایش قرار گرفته است. نتیجه بررسی در این مورد در شکل (۲۱) آورده شده است.



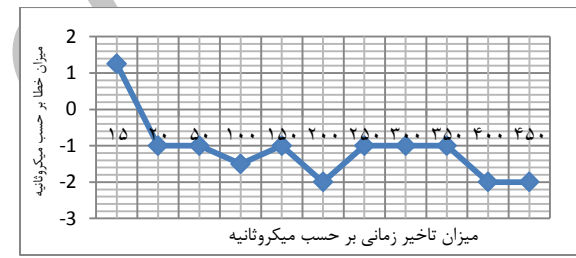
شکل ۲۲. نمودار خطای در اندازه‌گیری اندازه کاراکترهای رمز (دوره تنابو).

بر اساس محاسبات انجام شده بر روی داده‌ها، میانگین میزان خطای در اندازه‌گیری دوره تنابو بعنوان کاراکترهای رمز، برابر $6/20427$ میکروثانیه است. در اینجا دو نتیجه مورد آزمایش از لحاظ تولید و شناسایی رمز لیزری توسط آزمونگر ارائه می‌شود. در آزمایش اول یک رمز لیزری سه بار مورد آزمایش قرار گرفته است که نتایج در جدول (۳) نشان داده است.

آزمایش اول قطار پالسی دارای ۶ پالس با دوره تنابو $0/1$ ثانیه و دروازه زمانی ثابتی برابر 100 میکروثانیه درنظر گرفته و میزان تاخیر زمانی از 11 میکروثانیه تا 30 میکروثانیه افزایش داده شده است. در آزمایش دیگر قطار پالس دارای ۴ پالس با دوره تنابو $0/1$ ثانیه و پهنهای دروازه 500 میکروثانیه درنظر گرفته شده و میزان تاخیر زمانی از 11 میکروثانیه تا 450 میکروثانیه افزایش داده است نتایج در شکل (۱۹) و شکل (۲۰) نشان داده شده است.



شکل ۱۹. قطار پالس شامل ۶ پالس با دوره تنابو $0/1$ ثانیه و دروازه زمانی برابر 100 میکروثانیه.



شکل ۲۰. قطار پالس شامل ۴ پالس با دوره تنابو $0/1$ ثانیه و دروازه زمانی برابر 500 میکروثانیه.

بر اساس نتایج به دست آمده، حداقل تاخیر زمانی برابر 15 میکروثانیه است. همچنین یک خطای ثابت برابر با ± 2 میکروثانیه در اندازه واقعی تاخیر زمانی وجود دارد.

۴. نتایج و بحث

هر رمز را می‌توان به صورت قطار پالسی درنظر گرفت که در آن دوره تنابو هر پالس، به صورت رمزگذاری شده می‌باشد. در آزمونگر ساخته شده می‌توان قطار پالسی شامل ۱ تا ۲۰ پالس با دوره تنابو دلخواه تولید کرد. تعداد پالس به منزله طول رمز و دوره تنابو هر پالس به عنوان کاراکترهای رمز می‌باشد. به منظور رمزگشایی نیز یک دروازه زمانی برای هر کاراکتر رمز تعریف می‌شود. این دروازه زمانی با دو پارامتر، شامل پهنهای دروازه و تاخیر مابین لبه بالارونده پالس رمز و شروع دروازه زمانی مربوطه تعریف می‌شود. مهم قرارگرفتن لبه بالارونده پالس درون دروازه زمانی است. اگر دروازه زمانی به گونه‌ای باشد که لبه بالارونده پالس در خارج از آن قرار گیرد، در گیرنده چیزی دریافت نخواهد

۶. مراجع

- [1] Williams, D. S. "Absolute Time Encoded Semi-Active Laser Designation"; US Patent, 7,767,945, 2009.
- [2] Carthy, P. L. "Projectile Guidance System Including a Compact Semi-Active Laser Seeker With Immersed Filter Stack and Field Lens"; US Patent 8,188,411, 2010.
- [3] Bayston, T. E. "Pulse Code Recognition Method and Systems"; US Patent 5,023,888, 1991.
- [4] Muller, G. "Laser Warning Device for Military Vehicles"; US Patent 4,721,852, 1988.
- [5] Halldorsson, T. "Laser Detection Devices"; US Patent 4,674,874, 1987.
- [6] Hunter, R. W. "Compact Laser Warning Receiver"; US Patent 5,260,563, 1993.
- [7] Wootton, J. R. "Laser Warning system and Methods"; US Patent 6,770,865, 2003.
- [8] Gillespie, P. G. "Weapon of Choice"; University of Alabama, 2006.
- [9] Arjomandi, M. "Anti-Ship Missile Guidance Systems"; University of Adelaide, 2006.
- [10] Volkman, E. "Science Goes To War"; Wiley, New York, 2002
- [11] Russel, J. C. "Coherent Laser Warning System"; US Patent 6,151,114, 2000.

جدول ۳. نتایج مربوط به آزمایش یک رمز برای ۳ بار.

۱	۲	۳	۴	۵	۶	۷
۰.۰۳۳۳	۰.۰۳۳۳	۰.۰۳۳۳	۱۰۰	۲۰۰۰۰	۰.۰۳۳۳	۱
۰.۰۳۳۵۰۷۱	۰.۰۳۳۵۰۷۱	۰.۰۳۳۵۰۷۱	۱۰۰	۲۰۰۰۰	۰.۰۳۳۵	۲
۰.۱۰۰۰۰۷	۰.۱۰۰۰۰۷	۰.۱۰۰۰۰۷	۱۰۰	۲۰۰۰۰	۰.۱	۳
۰.۰۳۳۳۰۷۲	۰.۰۳۳۳۰۷۲	۰.۰۳۳۳۰۷۲	۱۰۰	۲۰۰۰۰	۰.۰۳۳۳	۴
۰.۰۳۳۵۰۷۱	۰.۰۳۳۵۰۷۱	۰.۰۳۳۵۰۷۱	۱۰۰	۲۰۰۰۰	۰.۰۳۳۵	۵
۰.۰۹۹۹۹۷۴	۰.۰۹۹۹۹۷۴	۰.۱۰۰۰۰۷	۱۰۰	۲۰۰۰۰	۰.۱	۶

۵. نتیجه گیری

از آزمونگر ساخته شده فقط برای بررسی توانایی سامانه های هشدار و فریب در زمینه کشف رمز لیزری و بازسازی آن می توان استفاده کرد. بطوریکه می توان رمزهای لیزری مشکل از قطاری از پالس ها با دامنه ثابت و دوره های تناوب دلخواه تولید نمود. هر قطار پالس می تواند شامل ۱ تا ۲۰ پالس باشد. دروازه زمانی قابل تولید در این دستگاه برای رمزگشایی، دارای حداقل تاخیر زمانی برابر ۱۵ میکروثانیه بوده و حداقل پهنه ای قابل استفاده در آن برابر ۲۰ میکروثانیه است. میزان خطأ در پارامترهای دروازه زمانی برابر ± 2 میکروثانیه است. این آزمونگر در تولید و باز تولید کاراکترهای مربوط به رمزهای لیزری، دارای خطای میانگین ۶/۷۰۴۲۷ میکروثانیه است. بدین معنا که اعداد به کاررفته در این سامانه تا ۵ رقم اعشار در تعیین دوره تناوب قابل اعتماد است و بیشتر از آن امکان خطأ وجود دارد.